

مجلة جامعة تشرين للدراسات والبحوث العلمية

جمادى الآخرة ١٤٠١

المجلد الرابع - العدد الاول من ٤٩ الى ٦٩

نيسان ١٩٨١

السلوك اللدن للمنشآت الفولاذية
العرضة في آن واحد الى ضغط وفتل

الدكتور سمير جوري
كلية الهندسة المدنية



إن استخدام الفولاذ في المنشآت المعدنية والصناعية والبحرية المعرضة في آن واحد الى جهود ضغط وفتل يستلزم معرفة سلوك المادة الفولاذية المستخدمة في التصميم في منطقتي اللدونة المضطربة (PLASTIC RANGE) ومنطقة التماسك ذات التشوهات الكبيرة مما يستوجب صياغة دقيقة للحالات الحدية المؤدية الى انهيار العنصر الانشائي .

وان معرفة خواص الفولاذ الميكانيكية في المنطقتين سابقتي الذكر هو امر اساسي لتصميم القطع الانشائية وحسابها على الاستقرار بالاضافة الى تحقيق وفر اقتصادي كبير في التصميم .

يعالج البحث بصورة رئيسية السلوك الفعلي للفولاذ الانشائي صنف (- 44 - 42) ($u_1 = 450 - 550$ Mpa) المستعمل بشكل كبير و اساسي في المنشآت المعدنية المعرضة في آن واحد الى جهود ضغط وفتل وهذا يتضمن حساب وقياس القيمة الفعلية لعامل القص المماسسي $G_t : \frac{d\tau}{d\gamma}$ لمناحي تحميل مختلفة في منطقة الخضوع وايضا في منطقة التماسك ذات التشوهات الكبيرة .

LIST OF SYMBOLS

r, θ, z	Cylindrical coordinates
x, y, z	Rectangular coordinates
$\sigma_z, \sigma_r, \sigma_\theta,$ $\tau_{r\theta}, \tau_{\theta z}, \tau_{zr}$	Stress components for compression - Torsion circular member
$\epsilon_z, \epsilon_r, \epsilon_\theta,$ $\gamma_{r\theta}, \gamma_{\theta z}, \gamma_{zr}$	Strain components for compression - Torsion circular member
e	Superscript indicating elastic components of strain or effective
p	Superscript indicating plastic components of strain
$\epsilon_z^e, \epsilon_r^e, \epsilon_\theta^e,$ $\gamma_{r\theta}^e, \gamma_{\theta z}^e, \gamma_{zr}^e$	Elastic components of strain
$\epsilon_z^p, \epsilon_r^p, \epsilon_\theta^p,$ $\gamma_{r\theta}^p, \gamma_{\theta z}^p, \gamma_{zr}^p$	Plastic components of strain
σ_z, ϵ_z	Axial stress and strain in z direction
$\tau_{\theta z}, \gamma_{\theta z}$	Shear- stress- and strain
σ_{YU}	Upper yield stress
σ_{YD}	Dynamic yield stress = lower yield stress
σ_{YS}	Static yield stress
τ_Y	Yield stress in shear
E	Modulus of elasticity = Young's modulus
G_{el}	Elastic shear modulus
ϵ_Y	Initial yield axial strain = $\frac{\sigma_{YD}}{E}$ or $\frac{\sigma_{YS}}{E}$
ϵ_{YS}	Static yield strain for structural carbon steel = 3 - 4 · ϵ_Y
γ_Y	Initial yield strain in shear = $\frac{\tau_Y}{G_{el}}$

ϵ_t	Tangential or transverse strain
E_t	Tangent modulus = $\frac{d\sigma_z}{d\epsilon_z}$
G_t	Tangent modulus in shear = $\frac{\sigma_{\tau\theta z}}{d\gamma_{\theta z}}$
$\nu = \frac{d\epsilon_t}{d\epsilon_z}$	Poisson's ratio = 0,25 - 0,33 in the elastic range and = 0,40 - 0,50 in the plastic and strain hardening range
τ	Dimensionless shear-stress = $\frac{\tau_{\theta z}}{\sigma_Y}$
γ	Dimensionless shear-strain = $\frac{\gamma_{\theta z}}{\epsilon_Y}$
σ	Dimensionless axial-stress = $\frac{\sigma_z}{\sigma_Y}$
ϵ	Dimensionless axial strain = $\frac{\epsilon_z}{\epsilon_Y}$
E_{sec}	Secant modulus = $\frac{\sigma_z}{\epsilon_z}$
$E_{sec(sh)}$	Secant modulus at the beginning of strain hardening range = $= \frac{\sigma_Y}{\epsilon_{sh}}$
H	Factor' = $\frac{E}{E_{sec}}$
G_{sec}	Secant modulus in shear computed according to deformation theory
E_{sh}	Strain hardening modulus
ϵ_{sh}	Strain measured at the beginning of strain hardening range in uniaxial test
$m = \frac{E_{sh}}{E}$	The strain hardening factor in uniaxial test, the two extreme values were $\frac{1}{25} - \frac{1}{55}$. The more common average value was $\frac{1}{35}$
G_{sh}	Strain hardening modulus in shear
γ_{sh}	Strain measured at the beginning of strain hardening range in torsion test
$m' = \frac{G_{sh}}{G_{el}}$	The strain hardening factor in pure torsion

$h = \frac{\epsilon_{sh}}{\epsilon_y}$ Number varying between 12-22 for structural carbon steel obtained from uniaxial test

$h_1 = \frac{Y_{sh}}{Y_y}$ Number varying between 20 - 25 for structural carbon steel obtained from torsion test

$\gamma_{sh(ct)}^p, \epsilon_{sh(ct)}^p$ Plastic strains measured at the beginning of strain hardening range in combined compression and torsion, also called dynamic jumps

l Length

N Axial load

t Thickness of the hollow circular member

R Radius of the circular member

$2b$ Width of the flange of W-F section

t_f Thickness of the flange

M Torsional moment

σ_{cr_0} Critical buckling stress for perfect plate

σ_{cr} Critical buckling stress

Tensor notation:

i, j, k, l, m Letter subscripts taking the values 1, 2, and 3

σ_{ij} Components of stress tensor

$\sigma_{kk} = \sigma_x + \sigma_y + \sigma_z$

σ_m Mean stress = $\frac{\sigma_{kk}}{3}$

δ_{ij} Kronecker δ eq (2.1.20)

S_{ij} Components of deviatoric stress tensor = $\sigma_{ij} - \sigma_m \delta_{ij}$

$S_2, S_r, S_\theta,$
 $S_{r\theta}, S_{\theta z}, S_{zr}$ Deviatoric stress tensor components

$\sigma_1, \sigma_2, \sigma_3$	Principal stresses
S_1, S_2, S_3	Principal stress deviator = $S_i = \sigma_i - \sigma_m$
ϵ_{ij}	Components of strain tensor
ϵ_{ij}^e	Elastic strain components
ϵ_{ij}^p	Plastic strain components
ϵ_{kk}	= $\epsilon_x + \epsilon_y + \epsilon_z$
ϵ_m	Mean strain = $\frac{\epsilon_{kk}}{3}$
$d\epsilon_{ij}$	Deviatoric strain increments components = = $d\epsilon_{ij} - \delta_{ij}d\epsilon_m$
e_z, e_r, e_θ $\gamma_{r\theta}, \gamma_{\theta z}, \gamma_{zr}$	Deviatoric strain tensor components
σ_e	Effective stress = $(\sigma_z^2 + 3\tau_{\theta z}^2)^{\frac{1}{2}}$
σ_f	Flow stress
J_2	Second invariant of deviatoric stress tensor eq (2.1.17)
J_3	Third invariant of deviatoric stress tensor eq (2.1.18)
$F(J_2)$	Function obtained from uniaxial stress-strain curve
$d\epsilon_e^p$	Effective plastic strain increment eq (2.2.2)a
ϵ_e^p	Integrated effective plastic strain
ϵ_{et}^p	Total effective plastic strain
$m = \frac{E_{sh}}{E}$	The strain hardening factor in uniaxial test
$m' = \frac{G_{sh}}{G_{el}}$	The strain hardening factor in torsion

$E_{sh(ct)i} = \frac{d\sigma_e}{d\epsilon_e^p}$ The strain hardening modulus in combined compression and torsion calculated according to incremental plastic theory

$E_{sh(ct)t} = \frac{d\sigma_e}{d\epsilon_{et}^p}$ The strain hardening modulus in combined compression and torsion calculated according to total plastic theory

$m_{(ct)i} = \frac{E_{sh(ct)t}}{E}$ The strain hardening factor in combined compression and torsion calculated according to incremental plastic theory

$m_{(ct)t} = \frac{E_{sh(ct)t}}{E}$ The strain hardening factor in combined compression and torsion calculated according to total plastic theory

$\epsilon_{sh(ct)}^p$ Axial strain measured at the beginning of strain hardening range in combined compression and torsion

$\gamma_{sh(ct)}^p$ Shear strain measured at the beginning of strain hardening range in combined compression and torsion

١ - المقدمة : =====

يجب اعطاء مسألة استقرار العناصر الانشائية الفولاذية اهمية كبيرة وان عدم اعطاء هذه المسألة الاهمية الكافية يؤدي الى حدوث كوارث كبيرة ونتائج غير مرضية .

ان سبب انهيار العناصر الانشائية يعزى غالبا الى التحنيب بانواعه المختلفة والذي يمكن ان يأخذ اشكالا متعددة :

تحنيب الاعمدة المعرضة لعزم انعطاف ، التحنيب الفتلبي أو الموضعي ، التحنيب الجانبي ، التحنيب الفراغي علما ان انهيار العنصر الانشائي يعزى غالبا الى تضافر انواع التحنيب السابقة الذكر .

ان مقاومة الاطراف الحرة الاجنحة المقاطع المسحوبة I ضد التحنيب تتبع بصورة اساسية وكلية العلاقة بين ازدياد اجهادات القص وبين تشوهاتها التي تضاف الى كمية معينة من اجهادات الضغط وبالتالي الى القيمة الفعلية لعامل القص η الذي يدخل بشكل رئيسي في معادلة التحنيب الاساسية للجناح .

ان تحديد قيمة العامل المذكور للمادة بعد ان تضغط محوريا حتى منطقة اللدونة والى ما بعدها من منطقة التماسك ذات التشوهات الكبيرة يعطي قيمة النسبة $\frac{b}{t}$ اللازمة لتصميم الجناح المضغوط للمقطع I وغيرها من المقاطع المسحوبة الجاهزة .

الدراسة النظرية :
=====

لصياغة قوانين ومعادلات السيلان اللدن نذكر التعاريف والمفاهيم الجديدة التالية :

الجهد الفعلي المعادل للمادة

$$\sigma_e = \left(\frac{3}{2} s_{ij} s_{ij} \right)^{\frac{1}{2}} = \frac{1}{\sqrt{2}} \left[(\sigma_r - \sigma_\theta)^2 + (\sigma_\theta - \sigma_z)^2 + (\sigma_z - \sigma_r)^2 + 6(\tau_{r\theta}^2 + \tau_{\theta z}^2 + \tau_{zr}^2) \right]^{\frac{1}{2}} \quad (2.1)$$

(2.1.1)

تكاملاً تزايداً التشوه اللدن الفعلي المعادل $d^p \sigma_e$

$$\int d\epsilon_e^p = \int \left(\frac{2}{3} d\epsilon_{ij}^p d\epsilon_{ij}^p \right)^{\frac{1}{2}} = \frac{\sqrt{2}}{3} \left\{ (d\epsilon_r^p - d\epsilon_\theta^p)^2 + (d\epsilon_\theta^p - d\epsilon_z^p)^2 + (d\epsilon_z^p - d\epsilon_r^p)^2 + \frac{3}{2} \left[(d\gamma_{r\theta}^p)^2 + (d\gamma_{\theta z}^p)^2 + (d\gamma_{zr}^p)^2 \right] \right\}^{\frac{1}{2}} \quad (2.2)$$

تتابع الحمولة اللدن ويمثل بالعلاقة التالية

$$\sigma_e = F \int d\epsilon_e^p \quad (2.3)$$

حيث \sum_{ij}^p مركبات التشوهات اللدنة

وباستعمال فرضيات أساسية مع مفهوم العمل اللدن المبذول في وحدة الحجم بدلالة تزايدات التشوهات اللدنة الفعلية (مرجع رقم 1) يمكننا استنتاج وصياغة قوانين السيلان اللدن والمعادلات النظرية العامة القابلة للحل بطريقة البرمجة وحل هذه المعادلات لتجمععات مناحي التحميل الرئيسية التالية :

٢ - ١ تطبيق عزم قتل في المنطقة المرنة وزيادته حتى منطقة اللدونة المضطربة ومتابعة التحميل إلى منطقة التماسك التشوهي (تجربة TO_3 القتل الصفر) .

يمكن استنتاج هذه الحالة نظرياً من الحالة (e) بند (٢ - ٦) انظر الشكل (رقم 2) الذي يعطي العلاقة التجريبية بين الاجهادات والتشوهات القصية وفارنه مع المنحني السفلي الثامن من شكل (40) المستنتج نظرياً من الحالة (e) بند

(٢ - ٦) .

٢ - ٢ الحالة النظرية (a) تطبيق قوى محورية ضاغطة حتى منطقة

اللدونة المضطربة يليها عزم قتل متزايد مع السماح بازدياد التشوه المحوري ضمن منطقة اللدونة المضطربة (منطقة الخضوع .

باستعمال قوانين السيلان اللدن (مرجع رقم ١)

يمكننا استنتاج العلاقتين التاليتين

$$d\gamma = \left[2(1+\nu) + \frac{9\tau^2}{(1-3\tau^2)} \right] d\tau + \frac{3\tau}{(1-3\tau^2)^{3/2}} d\epsilon \quad (2.4)$$

$$G = \frac{G_t}{E} = \frac{d\tau}{d\gamma} = \left[\frac{(1-3\tau^2) - 3\tau(1-3\tau^2)^{1/2} \frac{d\epsilon}{d\gamma}}{2(1+\nu)(1-3\tau^2) + 9\tau^2} \right] \quad (2.5)$$

وبتحديد التزايدات الجزئية لـ $d\sigma$ و $d\epsilon$ واستخدام الشروط الأولية يمكننا إجراء التكاملات والحصول على قيم التشوهات القصصية وعامل القص G_t . مثلت نتائج الحسابات النظرية بمنحنيات وقورنت هذه المنحنيات مع النتائج المخبرية للتجربة (CT_4) انظر الاشكال (٥ الى ١٠) .

٢ - ٣ الحالة النظرية (b) تطبيق قوى ضاغطة محورية حتى منطقة

اللدونة المضطربة يليها عزم قتل متزايد مع الحفاظ على قيمة ثابتة للتشوه المحوري في منطقة اللدونة .

باستعمال قوانين السيلان اللدن (مرجع رقم ١) واستخدام الشروط

الأولية يمكننا استنتاج العلاقتين التاليتين .

$$\gamma = (2\nu-1)\tau + \frac{\sqrt{3}}{2} \ln \frac{1+\sqrt{3}\tau}{1-\sqrt{3}\tau} \quad (2.6)$$

$$G = \frac{G_t}{E} = \frac{d\tau}{d\gamma} = \left[\frac{1}{2(1+\nu) + \frac{9\tau^2}{1-3\tau^2}} \right] \quad (2.7)$$

التين تعطيان العلاقات بين التشوهات والاجهادات القصية وعامل القص المماسي . وقد مثلت نتائج الحسابات النظرية بمنحنيات وقورنت هذه المنحنيات مع النتائج المخبرية المستنتجة في ضوء التجربة (CT5) انظر الاشكال (١١ الى ١٦) .

٢ - الحالة النظرية (C) تطبيق قوى ضاغطة محورية حتى بداية

منطقة التماسك ذات التشوهات الكبيرة يتلوها قيم معينة من النسبة $\frac{d}{d}$ حيث تتفرع هذه الحالة الى حالات متعددة .
 باستعمال قوانين السيلان اللدن (مرجع رقم ١) .
 يمكننا استنتاج العلاقات التالية :

$$d\epsilon = d\sigma + \left(\frac{1}{m} - 1\right) \frac{-2d}{2+3\tau^2} + \left(\frac{1}{m} - 1\right) \frac{3\tau d\tau}{\sigma^2 + 3\tau^2} \quad (2.8)$$

$$d\tau = \left\{ 2(1+\nu) + \frac{9\tau}{\sigma^2 + 3\tau^2} \left(\frac{\sigma}{3} \frac{d\sigma}{d\tau} + \tau \right) \left(\frac{1}{m} - 1 \right) \right\} d\sigma \quad (2.9)$$

$$G = \frac{G_t}{E} = \frac{d\tau}{d\gamma} = \left\{ \frac{1}{2(1+\nu) + \frac{9\tau}{(2+3\tau^2)} \left(\frac{\sigma}{3} \frac{d\sigma}{d\tau} + \tau \right) \left(\frac{1}{m} - 1 \right)} \right\} \quad (2.10)$$

وباستخدام الشروط الاولية وبتحديد التزايدات الجزئية d و d يمكننا اجراء التكاملات للعلاقات السابقة والحصول على قيم التشوهات القصية والمحورية .

وقد مثلت نتائج الحسابات السابقة بمنحنيات وقورنت هذه المنحنيات مع النتائج المخبرية المستنتجة في ضوء التجربة (CT6) انظر الاشكال (١٧ الى ٢٣) .

٢ - ٥ الحالة النظرية (d) تطبيق قوى محورية ضاغطة حتى بداية منطقتين التماسك ذات التشوهات الكبيرة يليها عزم فتل متزايد مع الحفاظ على جهد الخضوع ثابتا .

باجراء التكامل للمعادلتين (2 . 8) و (2 . 9) واستعمال الشروط الأولية يمكننا استنتاج العلاقات التالية :

$$E = h + \frac{1}{2} \cdot \left(\frac{1}{m} - 1 \right) \ln(1+3\tau^2) \quad (2.11)$$

$$\delta = 2(1+\nu)\tau + \left(\frac{1}{m} - 1\right) \left(3\tau - \sqrt{3} \tan^{-1} \sqrt{3} \tau \right) \quad (2.12)$$

$$G = \left[\frac{1}{2(1+\nu) + \left(\frac{1}{m} - 1\right) \frac{9\tau^2}{(1+3\tau^2)}} \right] \quad (2.13)$$

مثلت نتائج المعادلات السابقة بمنحنيات وقورنت هذه المنحنيات مع النتائج المخبرية المستنتجة في ضوء التجربة (CT7) انظر الاشكال (٢٤ الى ٣٠) .

٢ - ٦ الحالة النظرية (e) تطبيق قوى ضاغطة محورية ضمن منطقة المرنة حيث يتلوها عزم فتل متزايد حتى دخول المادة الى منطقة اللدونة المضطربة (منطقة الخضوع) ومتابعة التحميل الى منطقة التماسك ذات التشوهات الكبيرة والدخول فيها .

وقد تفرغت هذه الحالة الى ثماني حالات انظر الملحق

وباستعمال قوانين السيلان اللدن (مرجع رقم 1) والشروط الأولية يمكننا استنتاج العلاقات التي تعطي التشوهات القصية والمحورية وعامل القص المماسي :

$$\gamma = 2(1+\nu)\tau_i + \frac{3(h-1)}{\left[3 + \left(\frac{\sigma_i}{\tau_i}\right)^2\right]^{\frac{1}{2}}} + 2(1+\nu)(\tau - \tau_i) + \left(\frac{1}{m} - 1\right) \left\{ 3(\tau - \tau_i) - \sqrt{3} \sigma_i \left[\tan^{-1}(\sqrt{3} \frac{\tau}{\sigma_i}) - \tan^{-1}(\sqrt{3} \frac{\tau_i}{\sigma_i}) \right] \right\} \quad (2.14)$$

$$\epsilon = \sigma_i + \frac{(h-1)}{\left[1 + 3\left(\frac{\tau_i}{\sigma_i}\right)^2\right]^{\frac{1}{2}}} + \left(\frac{1}{m} - 1\right) \frac{\sigma_i}{\tau} \ln(3\tau^2 + \sigma_i^2) \quad (2.15)$$

$$G = \frac{G_t}{E} = \frac{d\tau}{d\gamma} = \left[\frac{1}{2(1+\nu) + \left(\frac{1}{m} - 1\right) \frac{9\tau^2}{(\sigma_i^2 + 3\tau^2)}} \right] \quad \text{for } \tau \geq \tau_i \quad (2.16)$$

$$\epsilon_e^p = \frac{\epsilon_e^p}{\epsilon_\gamma} = \int_0^{\epsilon_{i_j}^p} \left[(d\epsilon^p)^2 + \frac{1}{3} (d\delta^p)^2 \right]^{\frac{1}{2}} \quad (2.17)$$

مثلت نتائج حسابات المعادلات السابقة بمنحنيات وقورنت هذه النتائج النظرية مع النتائج المخبرية المستنتجة في ضوء التجربة (CT7) انظر الاشكال (٣١ الى ٤٢) .

٣ - التجارب المخبرية :

استخدمت في هذه التجارب اسطوانات رقيقة السماكة التي صنعت بدقة فائقة من الفولاذ الانشائي صنف (42 - 44) ($\sigma_{ul} = 450-550$ Mpa)

والمستخدم بشكل رئيسي في المنشآت المعدنية والصناعية . اخضعت هذه الاسطوانات الى اجهادات ضغط محورية حتى منطقة اللدونة المضطربة وبعدها ثبتت قيم اجهاد الضغط لمحوري او التشوه المحوري او سمح

لكليهما بالتغير واخضعت العينة الى عزم فتل وتمت قياسات التشوهات المحورية والقصية بواسطة عدة طرق كهربائية متقدمة اهمها وادقها جهاز خاص قام المؤلف بتصميمه خصيصا لهذه الغاية ولم يسبق تصميمه من قبيل .

صم المؤلف ايضا طريقة جديدة ودقيقة لتشبيت انفص الانشائي (المعرض الى جهود ضغط وفتل) بآلة التحميل الاوتوماتيكية MTS والتي تؤمن تحكم آلي كهربائي مستمر ومبرمج بالاجهادات والتشوهات انظر الاشكال (٤٣ - ٤٤) وعرضت نتائج التجارب المخبرية على شكل منحنيات متقطعة وقورنت مباشرة بالمنحنيات المحسوبة نظريا حيث تبين انه يوجد توافق شبه تام بين المنحنيات النظرية والمنحنيسات المستنتجة في ضوء التجارب المخبرية انظر الاشكال (٢ الى ٤٢) .

النتائج والتوصيات المقترحة :

٤ - ١ وهدفي التجريبتين (cT_5) (cT_4) والمعالجتين نظريا بالحالتين (a,6) ان القيمة البدائية لعامل القص المماسي في بداية الفتل غير حساسة لتشوهات قسوى ضئيلة ومن اجل $G_t = G_{el}$ ($z = 3 - 6 \cdot 10^{-3}$ و $\sigma = 0 - 0,8 \cdot 10^{-3}$) ينتج أن: وهذا وان الانخفاض الاعظمي لقيمة G_t هي ٢٥٪ من القيمة المرنة G_{el} وهذا يؤكد على تغير عامل القص في منطقة اللدونة المضطربة تغيرا بطيئا نسبيا ولهذا السبب فان وجود منطقة اللدونة المضطربة في المادة يعتبر عملا ايجابيا في سلوك القطع الانشائية الفولاذية عند تعرضها للاحمال القصوى انظر الاشكال (٥ - ١٦ ٢) .

٤-٢ وهدفي التجريبتين (cT_6) (cT_7) والمعالجتين نظريا بالحالتين (c,d) ان القية البدائية لعامل القص G_t في بداية الفتل حساسة تجاه اي ازدياد طفيف في شوهات القص وتنقص قيمة G_t بسرعة تجاه ازدياد λ حتى تصل قيمته الى ($0,2 G_{el}$) وفي منطقة التماسك ذات التشوهات الكبيرة تنقص قيمة G_{el} ببطء شديد ويومي باستعمال القيمة $G_t = 0,2 G_{el}$ في التصميم اللدن (PLASTIC DESIGN) انظر الاشكال (١٧ الى ٣٠) .

٤ - ٣ - ان تراكب اجهاد قص عال قيمته $\tau = 0,7\sigma_y$ مع اجهاد محوري يعادل σ_y لا يخفض قيمة G_t الى نفس قيمة عامل القص المحسوب في تجربة الفتل المرف ولكن تبقى قيمة G_t معادلة المقياس اربعة الى خمسة اضعاف قيمة G_{sh} وهذا يغضي بنا بان نأخذ بعين الاعتبار وبالدرجة الاولى قيمة اجهادات القص الفعلية في التصميم انظر الاشكال (٢٥ - ٢٦ - ٣٩ - الى ٤٢) .

٤ - ٤ - تتبين التجريبتان (Ct_4) و (Ct_5) بأنه يمكن أن تصل قيمة اجهاد الخضوع الاعلى σ_{yu} الى ٢٥ ، ١٠ من قيمة اجهاد الخضوع الديناميكي $\sigma_{yd} \cdot 1,25 = \sigma_{yu}$ وان صحة قياس قيمة σ_{yu} حساسة جدا للعزوم الصغيرة والتشوهات البدائية الموجودة في العنصر قبل تطبيق الحمولة ولذلك فان قيمة اجهاد الخضوع التي يجب ان يعتمد عليها في التصميم هي قيمة اجهاد الخضوع الستاتيكي للمادة σ_{ys} . انظر الاشكال (٥ و ١١) .

٤ - ٥ - يتبين من التجارب (T_2) ، (C_2) ، (CT_4) ان المادة غيرمتجانسة في منطقة اللدونة المضطربة ولذلك فمن الخطأ ان نفترض ان التشوهات الموضعية للعنصر الانشائي تساوي قيمة التشوهات الوسطية المقاسة على كامل العنصر وهذه الأخيرة هي التي يجب ان تؤخذ بالاعتبار في التصميم . انظر شكل (٤) .

٤ - ٦ - ان نظرية اللدونة الموضوعة لحساب التشوهات اللدنة وعامل القص هي صحيحة وان القيمة التي يمكن ان نعتد عليها للعامل فسي-التصميم هي القيمة التي يبدأ فيها العامل G_t بالانخفاض بمعدل بطيء من اجل كل ازدياد في λ ولا يمكن الاعتماد على القيمة البدائية للعامل G_t في بداية الفتل والسبب يعود الى أنه لا توجد مادة خالية من العيوب والتشوهات البدائية التي ستزيد حتما من تحسس المادة فسي بداية الفتل وبالتالي من تخفيض قيمة G_t بسرعة . ولهذا فان تطبيق نظرية السيلان اللدنة الموضوعة لحساب تحنيب الجناح يعطي نتائج صحيحة شريطة ان تؤخذ بعين الاعتبار التشوهات الاولى الموجودة في المادة قبل تطبيق الحمولات ولن تعطي هذه النظرية نتائج صحيحة اذا لم تؤخذ تشوهات المادة بعين الاعتبار .

ان النتائج السابقة هامة جدا في تصميم وحساب المنشآت الفولاذية والمعدنية وان عدم اعطائها الاهمية الكافية يؤدي الى حدوث كوارث ونتائج غير مرضية . -

بالاضافة الى ان معرفة خواص الفولاذ وسلوكه الفعلي في منطقتي اللدونة والتماسك يحقق وفرا اقتصاديا كبيرا في التصميم .

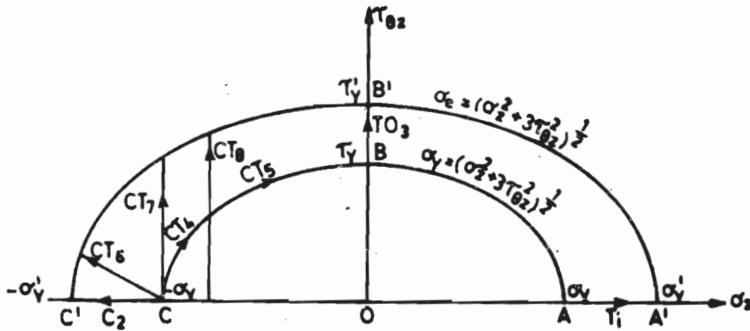


Fig 1 Loading paths

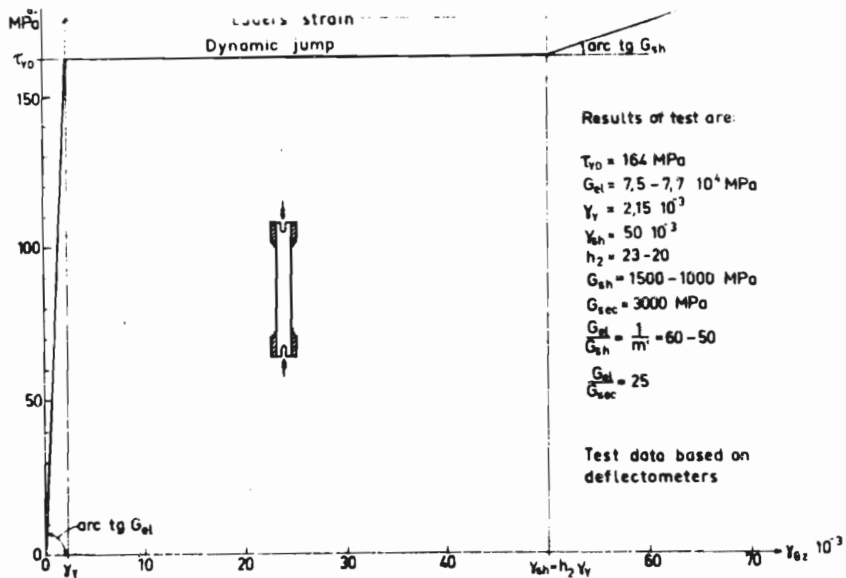


Fig - 2 realized shear stress-strain diagram of structural steel SIS 1312, torsion test T_{0_3}

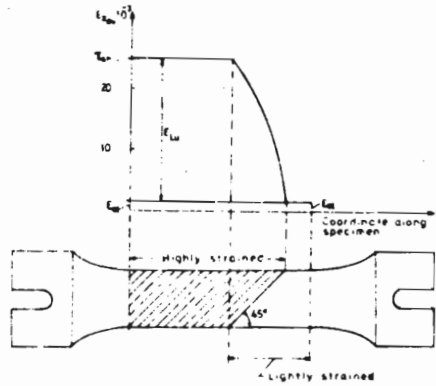


Fig 3 Formation of Lüder's band, test C₂, CT₇

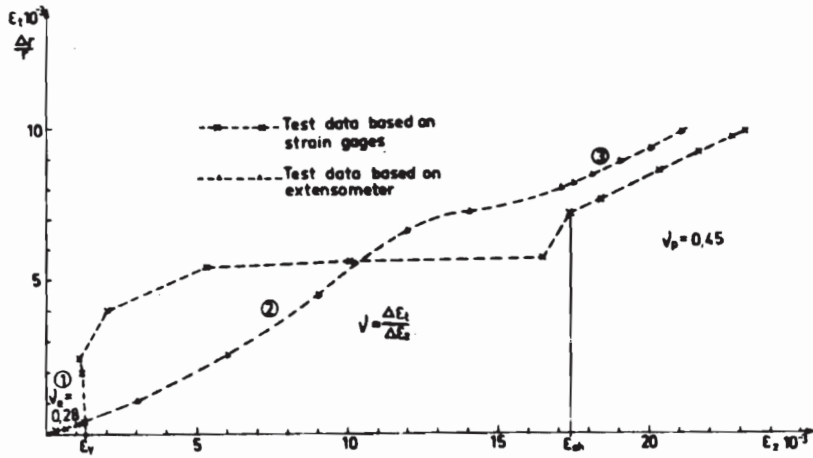


Fig 4 Tangential strain ϵ_t versus axial strain ϵ_z in the elasto-plastic and strain hardening range, tension test T₂. Structural steel SIS 1412

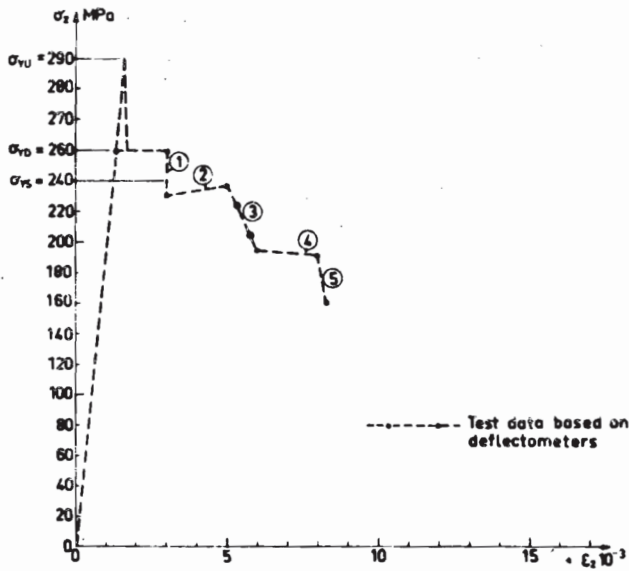


Fig 5 Axial compressive stress σ_z versus the axial strain ϵ_z , test CT₄. Structural carbon steel SIS 1312

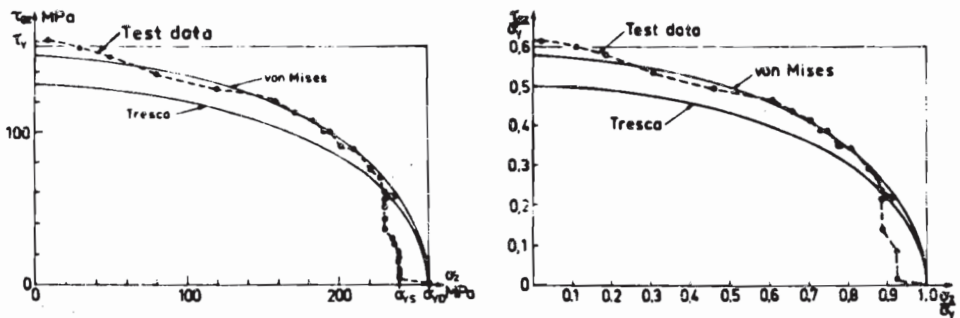


Fig 5 shear stress τ_{0z} versus compressive stress σ_z , for constant or increasing strain within Lueder's field, test CT₄. Structural carbon steel SIS 1312

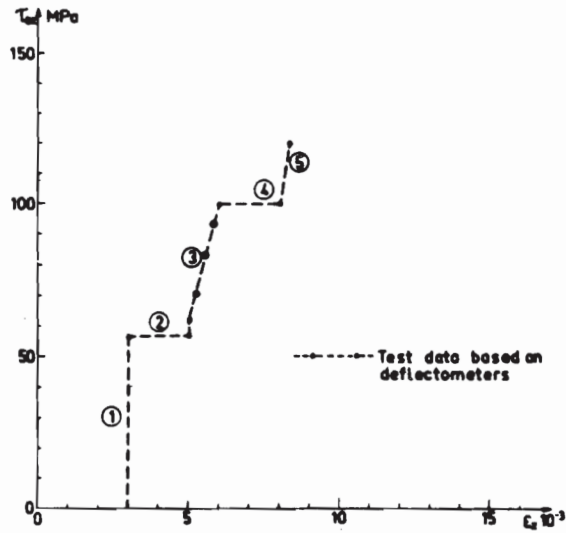


Fig 7 Shear stress $\tau_{\theta z}$ versus the axial strain ϵ_z , for constant or increasing strain within *Lüder's* field, test: CT₄. Structural carbon steel SIS 1312

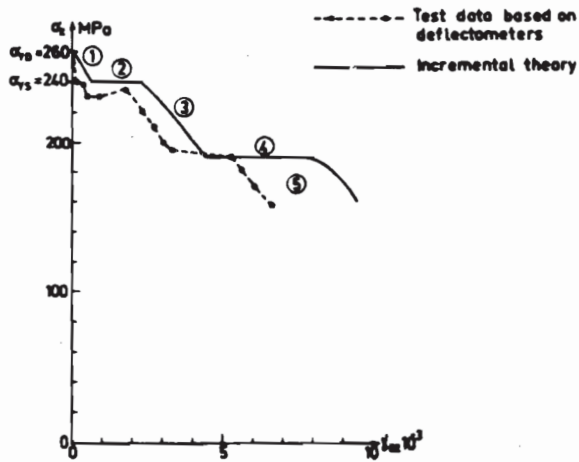


Fig 8 Axial compressive stress σ_z versus shear strain $\gamma_{\theta z}$, for constant or increasing strain within *Lüder's* field, test CT₄. Structural carbon steel SIS 1312

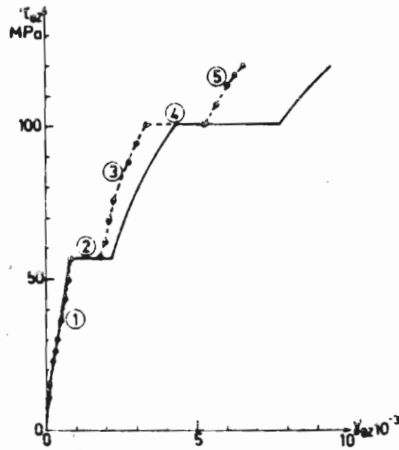


Fig 9 shear stress $\tau_{\theta z}$ versus shear strain $\gamma_{\theta z}$ for constant or increasing strain within Lüder's field, test CT₄. Structural carbon steel SIS 1312

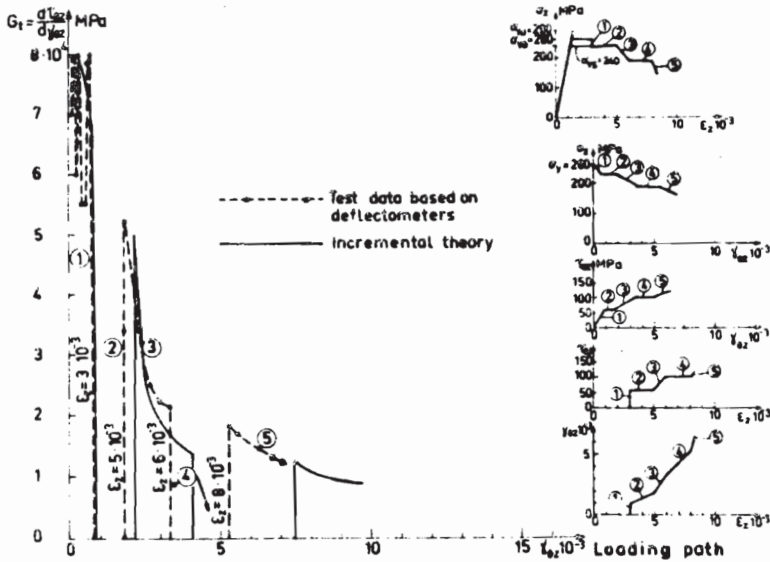


Fig 10 the tangent modulus in shear G_t versus shear strain $\gamma_{\theta z}$ for a constant or increasing axial strain within Lüder's field, test CT₄. Structural carbon steel SIS 1312

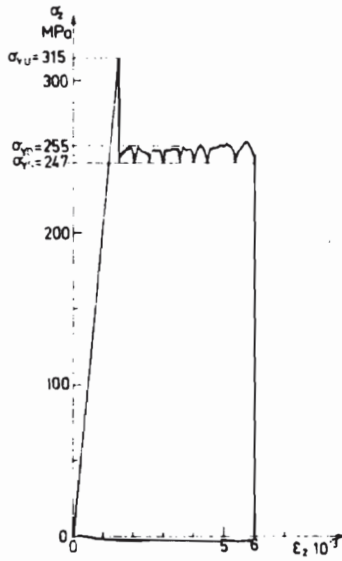


Fig 11 The axial compressive stress σ_z versus axial strain ϵ_z , test CT₅.
Structural carbon steel SIS 1312

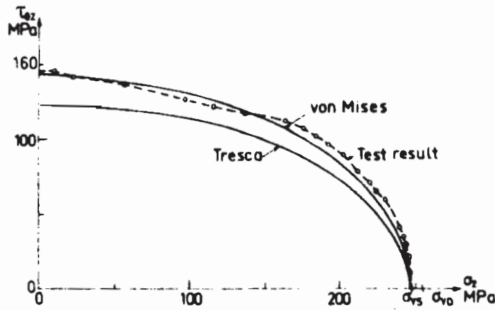


Fig 12 Shear stress τ_{02} versus axial compressive stress σ_z for constant axial strain $\epsilon_z = 6 \cdot 10^{-3}$ within Lüder's field, test CT₅.
Structural carbon steel SIS 1312

المراجع

- 1- George , Samir : " Plastic Behaviour of Structural Structural Steel in Combined Compression and Torsion" . , Bulletin Nr 132 From the Division of Bulding Statics and Structural Engineering , Royal Insto. of Technology , R I T , Stockholm , October 1978 , SWEDEN
- 2- Drucker , D C : A Discussion of the Theories of Plasticity", Readers Forum , Journal of the Aeronautical Sciences , Vol . 16 , no . 9 , P . 567 , September 1949 .
- 3- Bijlaard , P P : "Theory and Tests on the Plastic Stability of Plates and Shell " , Journal of the Aeronautical Sciences , vol . 16 , no . 9 , pp . 529 - 541 , September 1949 .